

# 非有界な関数を平均曲率に持つ特異回転面について

寺本 圭佑 (Keisuke Teramoto)\*  
神戸大学大学院理学研究科数学専攻 D3

## 導入

$I \subset \mathbf{R}$  を区間とし,  $\gamma: I \rightarrow \mathbf{R}^2$  を  $C^\infty$  級の平面曲線とする.  $\gamma(t) = (x(t), y(t))$  ( $y > 0$ ) と表し,  $\gamma$  の  $x$  軸に関する回転面を

$$s(t, \theta) = (x(t), y(t) \cos \theta, y(t) \sin \theta) \quad (0.1)$$

とする. 曲線  $\gamma$  を回転面  $s$  の生成曲線と呼ぶ.  $s(t, \theta)$  の平均曲率を  $H(t)$  で表す.  $I$  上で与えられた  $C^\infty$  級関数  $H(t)$  に対して, 回転面  $s(t, \theta)$  が  $H(t)$  を平均曲率として持つための生成曲線  $(x(t), y(t))$  の具体的な表示が劔持勝衛氏によって与えられた [6]. さらに, 回転面の周期性についての研究も行われている [7].

一方, 近年, 特異曲線や特異曲面に関する多くの研究が行われている ([1-5, 9-12]). もし生成曲線  $\gamma$  が正則なら, 平均曲率  $H$  は  $I$  上可微分であるが,  $\gamma$  が特異点を持つとき,  $H$  は非有界になることがある [11] (see also [9]). 本講演では,  $P$  を離散集合とし,  $I \setminus P$  上で与えられた  $C^\infty$  級関数  $H$  に対して, 回転面  $s$  の平均曲率が  $H$  である生成曲線  $(x(t), y(t))$  の具体的な表示を紹介する. また, 周期性についても紹介する.

本講演の内容は, L.F. Martins 氏 (UNESP), 佐治健太郎氏 (神戸大学), S. P. dos Santos 氏 (UNESP) との共同研究 [8] に基づく.

## 1 特異回転面の構成

$I \subset \mathbf{R}$  を区間,  $\gamma: I \rightarrow \mathbf{R}^2$  を  $C^\infty$  曲線とする. 曲線  $\gamma$  を  $\gamma(t) = (x(t), y(t))$  とおき, 任意の  $t \in I$  に対して,  $y(t) > 0$  を満たすと仮定する. ここで, 次のことを仮定する: ある関数  $\varphi: I \rightarrow \mathbf{R}$  が存在し, 任意の  $t \in I$  に対して,  $\gamma'(t)$  と  $e(t) = (\cos \varphi(t), \sin \varphi(t))$  が一次従属になる. このとき,

$$\gamma'(t) = l(t)e(t), \quad e(t) = (\cos \varphi(t), \sin \varphi(t))$$

を満たす関数  $l: I \rightarrow \mathbf{R}$  を得る. これは,  $\gamma$  が フロントであるということと同値である. (詳細は Section 2). また,  $p \in I$  が  $\gamma$  の特異点であることと  $l(p) = 0$  となることは同値である.  $P = l^{-1}(0)$  とし,  $P$  は離散集合であると仮定する. 回転面  $s$  の単位法ベクトル  $\nu$  を

$$\nu(t, \theta) = (\sin \varphi(t), -\cos \varphi(t) \cos \theta, -\cos \varphi(t) \sin \theta) \quad (1.1)$$

---

\*teramoto@math.kobe-u.ac.jp

2010 Mathematics Subject classification. Primary 57R45 ; Secondary 53A05.

Keywords and Phrases. Cuspidal edge, mean curvature

本研究は JSPS 科研費 17J02151 の助成を受けたものです.

と取る. このとき,  $s$  の正則点集合  $I \setminus P$  上で平均曲率  $H$  は  $C^\infty$  級関数である. さらに, 次を得る.

**Lemma 1.1.** 関数  $Hl$  は  $I$  上の  $C^\infty$  級関数に拡張できる.

フロンタルの平均曲率の特異点付近での挙動の詳細は [9, Proposition 2.6] を参照.

逆に,  $I$  上で  $Hl$  が  $C^\infty$  級関数となるように与えられた関数  $H : I \setminus P \rightarrow \mathbf{R}$  と,  $l : I \rightarrow \mathbf{R}$  ( $P = l^{-1}(0)$  は離散集合) に対して, (1.1) に関する平均曲率が  $H$  であり, 生成曲線  $\gamma = (x(t), y(t))$  が,  $\gamma' = l(\cos \varphi(t), \sin \varphi(t))$  を満たす回転面を求めよう. このとき,  $x, y$  は, 次の微分方程式を満たす:

$$2H(t)y(t)l(t) - l(t)\cos\varphi(t) + y(t)\varphi'(t) = 0. \quad (1.2)$$

[6] の方法にしたがって, この方程式を

$$(x'(t), y'(t)) = l(t)(\cos\varphi(t), \sin\varphi(t)) \quad (1.3)$$

の条件下で解く.  $z(t) = y(t)\sin\varphi(t) + \sqrt{-1}y(t)\cos\varphi(t)$  とおくと, 方程式 (1.2) は,

$$z'(t) - 2\sqrt{-1}H(t)z(t)l(t) - l(t) = 0$$

に変形でき, この方程式の一般解は,

$$\begin{aligned} z(t) &= (F(t) - c_1)\sin\eta(t) + (G(t) - c_2)\cos\eta(t) \\ &\quad + \sqrt{-1}((G(t) - c_2)\sin\eta(t) - (F(t) - c_1)\cos\eta(t)) \end{aligned}$$

である. ただし,  $c_1, c_2 \in \mathbf{R}$  であり,

$$F(t) = \int_0^t l(u)\sin\eta(u)du, \quad G(t) = \int_0^t l(u)\cos\eta(u)du, \quad \eta(u) = \int_0^u 2l(v)H(v)dv.$$

$y(t)^2 = |z(t)|^2$  と  $x'(t) = l(t)\cos\varphi(t) = l(t)(z(t) - \bar{z}(t))/(2\sqrt{-1}y(t))$  から,

$$y(t) = ((F(t) - c_1)^2 + (G(t) - c_2)^2)^{1/2}, \quad (1.4)$$

$$x'(t) = \frac{F'(t)(G(t) - c_2) - G'(t)(F(t) - c_1)}{((F(t) - c_1)^2 + (G(t) - c_2)^2)^{1/2}} = \frac{F'(t)(G(t) - c_2) - G'(t)(F(t) - c_1)}{y(t)} \quad (1.5)$$

を得る. これが求めたかった式である. 初期値  $c_1, c_2$  は, 考えている定義域上で,  $(F(t) - c_1)^2 + (G(t) - c_2)^2 > 0$  を満たすように取る.

## 2 生成曲線の特異点

この節では, 生成曲線や回転面に現れる特異点の判定条件について述べる.  $\gamma$  の特異点  $p$  が, 3/2-カスプ であるとは,  $\gamma$  の  $p$  における写像芽が  $t \mapsto (t^2, t^3)$  に 0 おいて  $\mathcal{A}$ -同値

となるときをいう。(二つの写像芽  $f_1, f_2 : (\mathbf{R}^m, 0) \rightarrow (\mathbf{R}^n, 0)$  が  $A$ -同値 であるとは、微分同相写像芽  $S : (\mathbf{R}^m, 0) \rightarrow (\mathbf{R}^m, 0)$ ,  $T : (\mathbf{R}^n, 0) \rightarrow (\mathbf{R}^n, 0)$  が存在し、 $f_2 \circ S = T \circ f_1$  を満たすときをいう。) 同様に、 $\gamma$  の特異点  $p$  が、 $j/i$ -カスプ  $((i, j) = (2, 5), (3, 4), (3, 5))$  であるとは、 $\gamma$  の  $p$  における写像芽が  $t \mapsto (t^i, t^j)$  に 0 おいて  $A$ -同値となるときをいう。これらの特異点に関する判定法が知られている。

点  $p$  における写像芽  $\gamma$  が フロントル であるとは、写像芽  $n : (\mathbf{R}, p) \rightarrow (\mathbf{R}^2, 0)$  が存在し、任意の  $t$  に対して、 $|n| = 1$ ,  $\gamma' \cdot n = 0$  を満たすときをいう。フロントルが 波面 であるとは、組  $(\gamma, n)$  が はめ込み を与えるときをいう。 $\gamma$  が、 $p$  において  $3/2$ -カスプ または、 $4/3$ -カスプ を持つとき、波面 であり、 $\gamma$  が  $p$  において  $5/2$ -カスプ または  $5/3$ -カスプ を持つとき、フロントル だが 波面 ではない。第 1 節で求めた曲線に対して次が成り立つ。

**Proposition 2.1.** (1.4), (1.5) によって与えられる曲線  $\gamma = (x, y)$  はフロントル である。さらに、 $l(p) = 0$  のとき、 $\gamma$  が  $p$  で波面 となるための必要十分条件は  $\eta'(p) \neq 0$  を満たすことである。

さらに、以下の判定条件が成立する。

**Proposition 2.2.**  $\gamma$  を上述のものとし、 $l(p) = 0$  とする。このとき、次が成り立つ。

- (1)  $\gamma$  が  $p$  で  $3/2$ -カスプ を持つための必要十分条件は、 $l'\eta' \neq 0$  が  $p$  で成り立つことである。
- (2)  $\gamma$  が  $p$  で  $5/2$ -カスプ を持つための必要十分条件は、 $l' \neq 0$ ,  $\eta' = 0$ ,  $l''\eta'' - l'\eta''' \neq 0$  が  $p$  で成り立つことである。
- (3)  $\gamma$  が  $p$  で  $4/3$ -カスプ を持つための必要十分条件は、 $l' = 0$  と  $\eta'l''' \neq 0$  が  $p$  で成り立つことである。
- (4)  $\gamma$  が  $p$  で  $5/3$ -カスプ を持つための必要十分条件は、 $l' = \eta' = 0$  と  $\eta''l''' \neq 0$  が  $p$  で成り立つことである。

**Example 2.3.**  $H = 1/t$ ,  $l = t$  とし、 $c_1 = c_2 = 1/10$  とおく。このとき、Proposition 2.2 から、 $\gamma$  は  $t = 0$  で  $3/2$ -カスプ を持つ。生成曲線は Figure 1 のようになる。

**Example 2.4.**  $H = 1 + t$ ,  $l = t$ ,  $c_1 = c_2 = 1/10$  とする。Proposition 2.2 より、 $\gamma$  は  $t = 0$  で  $5/2$ -カスプ を持つ。 $H = 1/t^2$ ,  $l = t^2$ ,  $c_1 = c_2 = 1/10$  とする。このとき、Proposition 2.2 から、 $\gamma$  は  $t = 0$  で  $4/3$ -カスプ を持つ。 $H = 1/t$ ,  $l = t^2$ ,  $c_1 = c_2 = 1/10$  とすると、Proposition 2.2 より、 $\gamma$  は  $t = 0$  で  $5/3$ -カスプ を持つ。生成曲線は Figure 2 のようになる。特異点は矢印で示されている部分。

Proposition 2.2 により、回転面に現れる特異点を調べることができる。写像  $f : (\mathbf{R}^2, q) \rightarrow (\mathbf{R}^3, 0)$  の特異点  $q$  が  $j/i$ -カスプ 辺 であるとは、 $f$  が  $q$  において、原点 0 における写像芽  $(u, v) \mapsto (u^i, u^j, v)$  と  $A$ -同値 なときをいう。 $y > 0$  のとき、写像芽  $(x, y, z) \mapsto (x, y \cos z, y \sin z)$  は微分同相写像芽 であるから、(0.1) で与えられる写像芽  $s$  が  $(p, \theta)$  で、 $j/i$ -カスプ 辺 を持つための必要十分条件は、生成曲線  $\gamma = (x, y)$  が  $p$  で  $j/i$ -カスプ を持つことである。

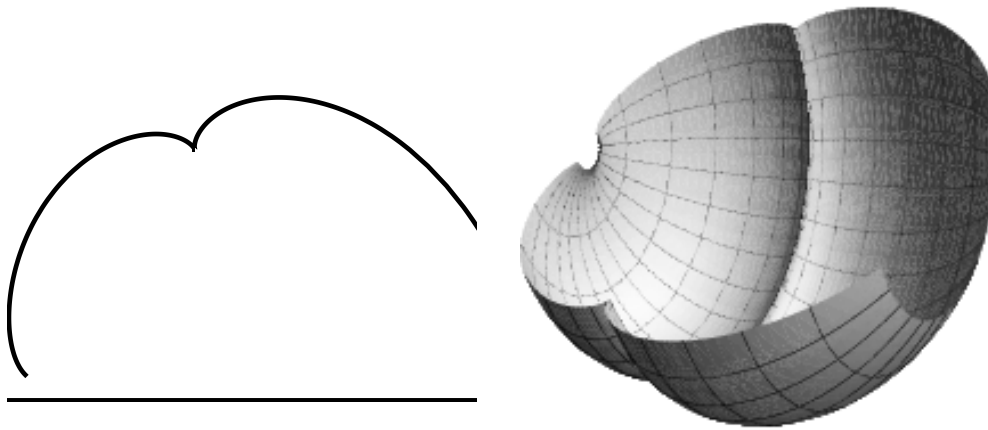


Figure 1: Example 2.3 における生成曲線と回転面. 水平線は  $x$  軸を表す.

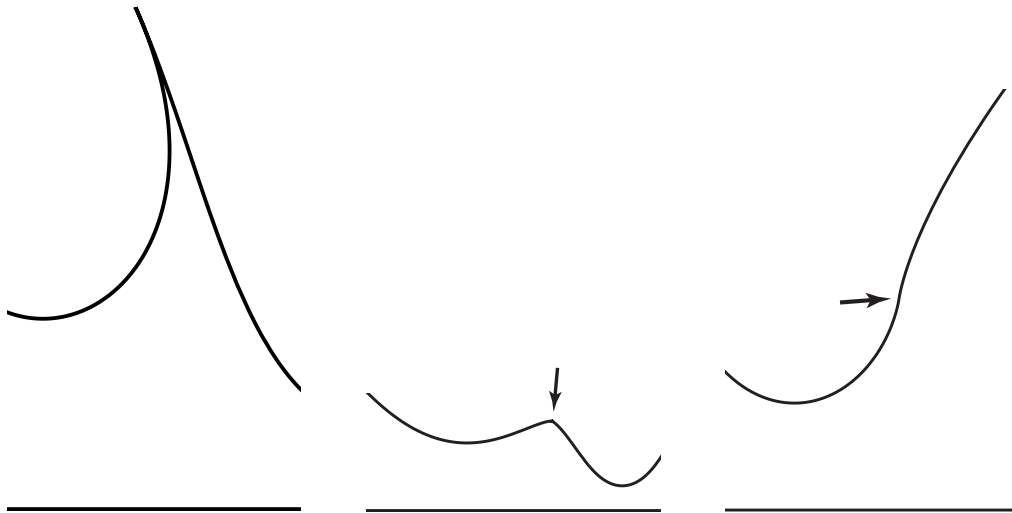


Figure 2: Example 2.4 の生成曲線. 水平線は  $x$  軸を表す.

### 3 周期性

この節では,  $H$  と  $l$  が周期的であるとき, 曲面が周期的になる条件を紹介する. 正則な場合には [7] で与えられていることに注意する. (0.1) で与えられる回転面の生成曲線  $(x, y)$  が周期  $L$  の周期を持つとは, ある正数  $T > 0$  が存在し,  $x(s + L) = x(s) + T$  と  $y(s + L) = y(s)$  が成り立つときをいう. このとき, 次の周期性に関する条件を得る.

**Theorem 3.1.**  $H : \mathbf{R} \setminus P \rightarrow \mathbf{R}$  と  $l : \mathbf{R} \rightarrow \mathbf{R}$  が同じ周期  $L$  を持つ  $C^\infty$  級周期関数とする. ただし,  $P = l^{-1}(0)$  は離散集合で,  $Hl$  が  $\mathbf{R}$  上の  $C^\infty$  級関数に拡張できるとする. このとき, (1.5), (1.4) で与えられる (1.2) の解  $(x, y)$  が周期的であるための必要十分条件は,  $1 - \cos \eta(L) \neq 0$  かつ

$$\cos\left(\varphi(0) + \frac{\eta(L)}{2}\right) \int_0^L l(u) \sin \eta(u) du = \sin\left(\varphi(0) + \frac{\eta(L)}{2}\right) \int_0^L l(u) \cos \eta(u) du, \quad (3.1)$$

または,  $1 - \cos \eta(L) = 0$  かつ

$$\int_0^L l(u) \sin \eta(u) du = \int_0^L l(u) \cos \eta(u) du = 0 \quad (3.2)$$

である. ただし,  $(x'(0), y'(0)) = l(0)(\cos \varphi(0), \sin \varphi(0))$ .

もし, 生成曲線が正則なら, 上の条件は [7, Theorem 1] で与えられた条件と等しいことに注意する.

**Example 3.2.**  $H = 1/\sin t$ ,  $l = \sin t$ ,  $c_1 = 1$ ,  $c_2 = 3/4$  とする. これは, Theorem 3.1 の条件を満たしているので, 生成曲線は周期的になる生成曲線の像は Figure 3 である. 生成曲線に現れる特異点はすべて  $3/2$ -カスプである.

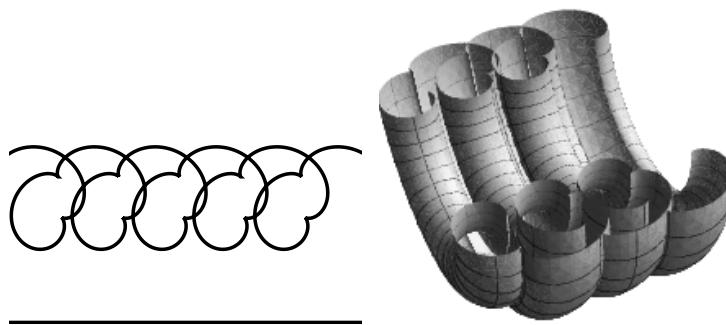


Figure 3: Example 3.2 の生成曲線と回転面. 水平線は  $x$  軸を表す.

**Example 3.3.**  $H = 1/\sin^2 t$ ,  $l = \sin^2 t$ ,  $c_1 = c_2 = 1/10$  とする. これは, Theorem 3.1 の条件を満たさないなので, 生成曲線は周期的でない (Figure 4). 現れる特異点は  $4/3$ -カスプであり, それらは矢印で示された部分に現れている.

## References

- [1] J. W. Bruce and J. M. West, *Functions on a crosscap*, Math. Proc. Cambridge Philos. Soc. **123** (1998), no. 1, 19–39.
- [2] T. Fukui and M. Hasegawa, *Fronts of Whitney umbrella -a differential geometric approach via blowing up*, J. Singul. **4** (2012), 35–67.
- [3] T. Fukunaga and M. Takahashi, *Evolutes of fronts in the Euclidean plane*, J. Singul. **10** (2014), 92–107.
- [4] A. Honda, K. Naokawa, M. Umehara and K. Yamada, *Isometric realization of cross caps as formal power series and its applications*, arXiv:1601.06265.

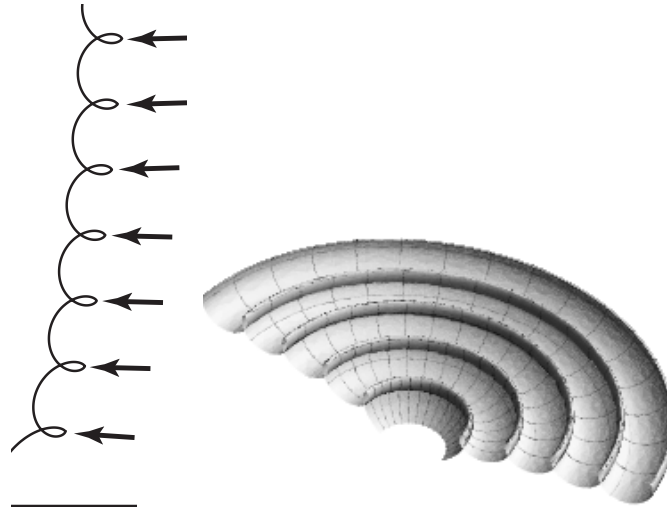


Figure 4: Example 3.3 の生成曲線と回転面. 水平線は  $x$  軸を表す.

- [5] S. Izumiya, M. C. Romero Fuster, M. A. S. Ruas and F. Tari, *Differential geometry from a singularity theory viewpoint*, World Scientific Publishing Co. Pte. Ltd., Hackensack, NJ, 2016.
- [6] K. Kenmotsu, *Surfaces of revolution with prescribed mean curvature*, Tohoku Math. J. (2) **32** (1980), no. 1, 147–153.
- [7] K. Kenmotsu, *Surfaces of revolution with periodic mean curvature*, Osaka J. Math. **40** (2003), no. 3, 687–696.
- [8] L. F. Martins, K. Saji, S. P. dos Santos and K. Teramoto, *Singular surfaces of revolution with prescribed unbounded mean curvature*, submitted.
- [9] L. F. Martins, K. Saji, M. Umehara and K. Yamada, *Behavior of Gaussian curvature and mean curvature near non-degenerate singular points on wave fronts*, Geometry and Topology of Manifold, Springer Proc. Math. & Statistics, 2016, 247–282.
- [10] R. Oset Sinha and F. Tari, *Flat geometry of cuspidal edges*, to appear in Osaka J. Math. arXiv:1610.08702.
- [11] K. Saji, M. Umehara, and K. Yamada, *The geometry of fronts*, Ann. of Math. **169** (2009), 491–529.
- [12] S. Shiba and M. Umehara, *The behavior of curvature functions at cusps and inflection points*, Differential Geom. Appl. **30** (2012), no. 3, 285–299.